



NetWorks Sp. z o.o.  
Laboratorium Badań Środowiskowych  
ul. Józefa Piusa Dziekońskiego 3  
00-728 Warszawa  
e-mail: [Laboratorium@networks.pl](mailto:Laboratorium@networks.pl)



AB 419

S P R A W O Z D A N I E 4593/2026/OS  
Z POMIARÓW PÓL ELEKTROMAGNETYCZNYCH  
WYKONANYCH DLA POTRZEB OCHRONY ŚRODOWISKA

Badany obiekt: Instalacja radiokomunikacyjna Orange Polska S.A.

Numer i nazwa: 91483 (91483N!) ŻYRARDÓW PLAY (WSK\_ZYRARDOW\_MICKIEWICZAP4)

Adres: ŻYRARDÓW, ADAMA MICKIEWICZA DZ.6611/12, Powiat żyrardowski, WOJ. MAZOWIECKIE

Data wykonania pomiarów: 2026-05-21

Sprawozdanie z badań bez pisemnej zgody laboratorium nie może być powielane inaczej niż w całości.

Wyniki przedstawione w niniejszym sprawozdaniu odnoszą się wyłącznie do badanego obiektu i do warunków i konfiguracji urządzeń w dniu wykonywania pomiarów.

**1. Właściciel badanego obiektu:**

Orange Polska S.A., Al. Jerozolimskie 160, 02-326 Warszawa

**2. Zleceniodawca:**

Orange Polska S.A., Al. Jerozolimskie 160, 02-326 Warszawa

**3. Przedstawiciel zleceniodawcy:**

NetWorks Sp. z o.o.

**4. Zakres zlecenia:**

Wykonanie badania i opracowanie sprawozdania z pomiarów natężenia pola elektrycznego i pola magnetycznego dla instalacji radiokomunikacyjnej Orange Polska S.A. zlokalizowanej w miejscowości ŻYRARDÓW, ADAMA MICKIEWICZA DZ.6611/12.

**5. Cel zlecenia:**

Wykonanie pomiarów pól elektromagnetycznych w otoczeniu instalacji radiokomunikacyjnej 91483 (91483N!) ŻYRARDÓW PLAY (WSK\_ZYRARDOW\_MICKIEWICZAP4) w odniesieniu do wymagań określonych w *Rozporządzeniu Ministra Klimatu z dnia 17 lutego 2020 r. w sprawie sposobów sprawdzania dotrzymania dopuszczalnych poziomów pól elektromagnetycznych w środowisku (Dz.U. 2022 poz. 2630)*.

**6. Pomiary zostały wykonane przez:**

Smoliński Mateusz

Radomski Oskar

**7. Informacje o źródłach pól elektromagnetycznych****7.1. Sposób identyfikacji badanych źródeł pól elektromagnetycznych**

Identyfikacji źródeł i parametrów technicznych dokonano na podstawie analizy dokumentacji dotyczącej zlecenia oraz obserwacji miejsca wykonywania badań.

**7.2. Opis miejsca zainstalowania anten i urządzeń technicznych. Opis obiektu badań i jego otoczenia**

Instalacja radiokomunikacyjna zlokalizowana jest na terenie ogrodzonym. Anteny zawieszono na wieży kratowej. Urządzenia sterujące oraz zasilające zainstalowano w szafie outdoor u podstawy wieży. Wokół instalacji znajduje się miasto.

Instalacja radiokomunikacyjna jest obiektem bezobsługowym. Okresowe stanowiska pracy związane są z prowadzonymi w zależności od potrzeb konserwacjami, przeglądami, strojeniem i naprawami.

### 7.3. Parametry techniczne źródła pola elektromagnetycznego

Dane przedstawiające maksymalne parametry pracy instalacji przekazane przez zleceniodawcę:

Parametry systemu nadawczo-odbiorczego:

Charakterystyka promieniowania		Kierunkowa					
Rzeczywisty czas pracy [h/dobę]		24					
Warunki pracy		Znamionowe					
Rodzaj wytwarzanego pola		Stacjonarne					
Lp.	Częstotliwość lub zakresy częstotliwości pracy [MHz]	Typ/producent anteny	liczba anten	Azymut [°]	kąt pochylenia [°]	Wysokość środka elektrycznego anteny [m n.p.t.]	Równoważna moc promieniowana izotropowo (EIRP) [W]
1	900	ATR4518R13v06 Huawei	1	50	4*	35	1199
2	1800/2100	ATR4518R13v06 Huawei	1	50	0-6**/0-6**	35	8698
3	900	ATR4518R13v06 Huawei	1	155	2*	35	1199
4	1800/2100	ATR4518R13v06 Huawei	1	155	0-6**/0-6**	35	8698
5	900	ATR4518R13v06 Huawei	1	275	2*	35	1199
6	1800/2100	ATR4518R13v06 Huawei	1	275	0-6**/0-6**	35	8698

\* wskazane wartości kąta pochylenia anten, zgodnie z informacją uzyskaną od zleceniodawcy, są wartościami stałymi

\*\* pomiary wykonano zgodnie z pkt 13., ppkt 2 załącznika do Rozporządzenia Ministra Klimatu z dnia 17 lutego 2020 r. (Dz. U. 2022, poz. 2630).

Parametry radiolinii:

Charakterystyka promieniowania		kierunkowa					
Rzeczywisty czas pracy [h/dobę]		24					
Warunki pracy		znamionowe					
Rodzaj wytwarzanego pola		stacjonarne					
Lp.	Linia radiowa			Antena			
	Typ/ Producent	Częstotliwość pracy [GHz]	Równoważna moc promieniowana izotropowo (EIRP) [W]	Typ/ producent	Średnica anteny [m]	Azymut [°]	Wysokość zainstalowania n.p.t [m]
1.	RTN 380AX DC 70/80GHz 500MHz Huawei	80	1779	A80D03 Huawei	0.3	7	32
2.	RTN XMC-3 38G 28MHz XPIC Huawei	38	1626	VHLPX1-38-HW1 Andrew	0.3	315	32.5

### 7.4 Inne źródła pól elektromagnetycznych

Na podstawie informacji otrzymanych od użytkownika oraz obserwacji otoczenia miejsca wykonywania pomiarów stwierdzono występowanie innych źródeł pola-EM, pracujących w systemach: telefonii komórkowej (800MHz-3800MHz), które istotnie wpływają na wyniki pomiarów. Zidentyfikowano również źródła pola-EM: linii radiowych (5GHz-90GHz), które nie wpływają istotnie na wyniki pomiarów.

Sprawozdanie z badań bez pisemnej zgody laboratorium nie może być powielane inaczej niż w całości.

Wyniki przedstawione w niniejszym sprawozdaniu odnoszą się wyłącznie do badanego obiektu i do warunków i konfiguracji urządzeń w dniu wykonywania pomiarów.

## 8. Opis pomiarów

### 8.1. Metoda badań

Zgodna z rozporządzeniem Ministra Klimatu z dnia 17 lutego 2020 r. w sprawie sposobów sprawdzania dotrzymania dopuszczalnych poziomów pól elektromagnetycznych w środowisku (Dz.U. 2022 poz. 2630), określona w pkt 25 ppkt 1 załącznika do niniejszego rozporządzenia.

### 8.2. Termin pomiarów i warunki środowiskowe

Podczas wykonywania pomiarów pól elektromagnetycznych nie występowały opady atmosferyczne. Wyniki pomiaru parametrów pogodowych przedstawia poniższa tabela:

Data [rrrr-mm-dd]	Godzina [hh:mm-hh:mm]	Warunki środowiskowe			
		Temperatura [°C]		Wilgotność względna [%]	
2026-05-21	10:05-11:15	Przed pomiarem	Po pomiarach	Przed pomiarem	Po pomiarach
		20.9	21.3	51.9	51.2

Przedstawione wyżej warunki środowiskowe, występujące podczas wykonywania pomiarów pól elektromagnetycznych, są zgodne ze specyfikacją techniczną użytego zestawu pomiarowego.

### 8.3. Warunki pracy urządzeń nadawczych

Podczas pomiarów w przypadku uzyskania wyniku pomiaru szerokopasmowego wykonanego zastosowaną metodą, dla zakresów częstotliwości od 10 MHz do 300 GHz, powiększonego o rozszerzoną niepewność pomiaru  $U$  dla współczynnika rozszerzenia  $k = 2$  przekraczającego 70% najniższej dopuszczalnej wartości składowej elektrycznej lub magnetycznej pola dla objętych pomiarami zakresów częstotliwości, uwzględnia się poprawki pomiarowe przekazane przez zleceniodawcę, umożliwiające uwzględnienie maksymalnych parametrów pracy instalacji zgodnie z pkt 7 załącznika do Rozporządzeniem Ministra Klimatu z dnia 17 lutego 2020 r. w sprawie sposobów sprawdzania dotrzymania dopuszczalnych poziomów pól elektromagnetycznych w środowisku (Dz. U. 2022, poz. 2630) zaznaczając, że wymagane jest wykonanie pomiaru z wykorzystaniem miernika selektywnego. W przypadku uzyskania wyniku pomiaru szerokopasmowego wykonanego zastosowaną metodą, dla zakresów częstotliwości od 10 MHz do 300 GHz, powiększonego o rozszerzoną niepewność pomiaru  $U$  dla współczynnika rozszerzenia  $k = 2$  nieprzekraczającego 70% najniższej dopuszczalnej wartości składowej elektrycznej lub magnetycznej pola dla objętych pomiarami zakresów częstotliwości, nie uwzględnia się poprawek pomiarowych.

### 8.4. Wyposażenie pomiarowe

Zestaw pomiarowy służący do pomiaru natężenia składowej elektrycznej pola elektromagnetycznego złożony z szerokopasmowego miernika i sondy pomiarowej:

Oznaczenie miernika	Producent	Model	Numer fabryczny	Oznaczenie sondy	Producent	Model	Numer fabryczny
MW-12	Wavecontrol	Miernik pól elektromagnetycznych SMP3	23SL0223	SW-23	Wavecontrol	Sonda WPF90	23WP260007

Mierniki natężenia pola elektromagnetycznego podlegają okresowemu sprawdzeniu zgodnie z procedurą wewnętrzną P-03 i PB-01. Świadectwo wzorcowania zestawu pomiarowego z dnia 8 września 2025 o numerze LWiMP/W/330/25 wydane przez Politechnika Wrocławską. Data następnego wzorcowania: 7 września 2027 (zgodnie z procedurą wewnętrzną P-03).

Oznaczenie miernika	Producent	Model	Numer fabryczny	Oznaczenie sondy	Producent	Model	Numer fabryczny
MW-12	Wavecontrol	Miernik pól elektromagnetycznych SMP3	23SL0223	SW-24	Wavecontrol	Sonda WPF6-HP	23WP060416

Mierniki natężenia pola elektromagnetycznego podlegają okresowemu sprawdzeniu zgodnie z procedurą wewnętrzną P-03 i PB-01. Świadectwo wzorcowania zestawu pomiarowego z dnia 8 września 2025 o numerze LWiMP/W/330/25 wydane przez Politechnika Wrocławską. Data następnego wzorcowania: 7 września 2027 (zgodnie z procedurą wewnętrzną P-03).

#### Termohigrometr:

Oznaczenie:	TH-06	Producent:	AZ INSTRUMENT CORP	Model:	Termohigrometr AZ8706
-------------	-------	------------	--------------------	--------	-----------------------

Data następnego wzorcowania: 7 stycznia 2028 (zgodnie z procedurą wewnętrzną P-03).

## Dalmierz:

Oznaczenie	Producent	Typ	Numer seryjny	Nr świadectwa wzorcowania	Data świadectwa wzorcowania
D-22	Leica	Dalmierz Leica Disto D510	1030440527	Z3-Z32.4180.152.2023.3253.2	23 października 2023

Data następnego wzorcowania: 23 października 2033 (zgodnie z procedurą wewnętrzną P-03).

## Odbiornik GNSS:

Odbiornik GNSS wbudowany w miernik natężenia pola elektromagnetycznego użyty podczas pomiarów	Producent	Model
	UBlox	MAX-M8Q

Odbiorniki podlegają okresowemu sprawdzeniu zgodnie z procedurą wewnętrzną P-03.

## 9. Wyniki pomiarów

Pomiary wykonano na terenach przeznaczonych pod zabudowę mieszkaniową w obszarze pomiarowym, w którym na podstawie uprzednio przeprowadzonych obliczeń (OOP\* 1736/2026/RP), stwierdzono występowanie w danych zakresach częstotliwości pól elektromagnetycznych o poziomach zbliżonych do poziomów dopuszczalnych, określonych w przepisach wydanych na podstawie art. 122 ust. 1 ustawy z dnia 27 kwietnia 2001 r. – Prawo ochrony środowiska.

\*OOP - Obligatoryjny Obszar Pomiarowy - opracowanie przedstawia przewidywane rozkłady pól elektromagnetycznych w otoczeniu instalacji radiokomunikacyjnej.

## Pole elektryczne

Nr pionu	Opis umiejscowienia pionu (punktu) pomiarowego	Wysokość pomiaru [m]	Zmierzona wartość natężenia pola elektrycznego E [V/m] <sup>1,5</sup>			Wartość natężenia pola elektrycznego powiększona o niepewność pomiaru <sup>4</sup> E [V/m]	Wskaźnikowa wartość poziomu emisji pól elektromagnetycznych WME <sup>3</sup>	Współrzędne geograficzne pionu (punktu) pomiarowego <sup>2</sup>
			Sonda SW-23	Sonda SW-24	Wartość			
1	DPP - w płaszczyźnie otworu okiennego myjni samochodowej, na parterze, Adama Mickiewicza 43, Żyrardów	2.0	1.3	1.3	1.3	1.7	0.06	52°2'29.0" 20°27'17.3"
2	DPP - w płaszczyźnie otworu okiennego Stacji paliw, na parterze, Adama Mickiewicza 43, Żyrardów	2.0	1.5	1.5	1.5	1.9	0.07	52°2'29.8" 20°27'16.6"
3	GKP w odległości poziomej 7m od anteny sektorowej az. 50°	0.3-2.0	<1.0*	<1.0*	<1.0*	1.3	0.05	52°2'29.4" 20°27'19.8"
4	GKP w odległości poziomej 22m od anteny sektorowej az. 50°	0.3-2.0	<1.0*	<1.0*	<1.0*	1.3	0.05	52°2'29.4" 20°27'20.5"
5	GKP w odległości poziomej 43m od anteny sektorowej az. 50°	2.0	1.4	1.4	1.4	1.8	0.06	52°2'30.1" 20°27'21.2"
6	GKP w odległości poziomej 63m od anteny sektorowej az. 50°	2.0	1.3	1.3	1.3	1.7	0.06	52°2'30.5" 20°27'22.0"
7	GKP w odległości poziomej 43m od anteny radioliniowej az. 7°	0.3-2.0	<1.0*	<1.0*	<1.0*	1.3	0.05	52°2'30.5" 20°27'19.8"
8	PKP na az. 338° w odległości poziomej 41m od anteny sektorowej az. 50°	0.3-2.0	<1.0*	<1.0*	<1.0*	1.3	0.05	52°2'30.5" 20°27'18.7"
9	GKP w odległości poziomej 40m od anteny radioliniowej az. 315°	0.3-2.0	<1.0*	<1.0*	<1.0*	1.3	0.05	52°2'30.1" 20°27'18.0"
10	GKP w odległości poziomej 7m od anteny sektorowej az. 155°	0.3-2.0	<1.0*	<1.0*	<1.0*	1.3	0.05	52°2'29.0" 20°27'19.4"
11	GKP w odległości poziomej 39m od anteny sektorowej az. 155°	2.0	1.4	1.4	1.4	1.8	0.06	52°2'28.0" 20°27'20.2"
12	PKP na az. 183° w odległości poziomej 47m od anteny sektorowej az. 155°	2.0	1.2	1.2	1.2	1.6	0.06	52°2'27.6" 20°27'19.4"
13	GKP w odległości poziomej 9m od anteny sektorowej az. 275°	0.3-2.0	<1.0*	<1.0*	<1.0*	1.3	0.05	52°2'29.0" 20°27'19.1"
14	GKP w odległości poziomej 31m od anteny sektorowej az. 275°	2.0	1.3	1.3	1.3	1.7	0.06	52°2'29.4" 20°27'17.6"
15	GKP w odległości poziomej 63m od anteny sektorowej az. 275°	2.0	<b>1.6</b>	<b>1.6</b>	<b>1.6</b>	2.1	0.07	52°2'29.4" 20°27'16.2"
-	GKP w odległości poziomej 323m od anteny sektorowej az. 155°	0.3-2.0	<1.0*	<1.0*	<1.0*	1.3	0.05	52°2'19.7" 20°27'26.6"
-	GKP w odległości poziomej 312m od anteny sektorowej az. 275°	0.3-2.0	<1.0*	<1.0*	<1.0*	1.3	0.05	52°2'30.1" 20°27'3.2"

Sprawozdanie z badań bez pisemnej zgody laboratorium nie może być powielane inaczej niż w całości.

Wyniki przedstawione w niniejszym sprawozdaniu odnoszą się wyłącznie do badanego obiektu i do warunków i konfiguracji urządzeń w dniu wykonywania pomiarów.

-	GKP w odległości poziomej 281m od anteny sektorowej az. 50°	0.3-2.0	<1.0*	<1.0*	<1.0*	1.3	0.05	52°2'34.8" 20°27'31.0"
---	---	---------	-------	-------	-------	-----	------	---------------------------

## Pole magnetyczne (wyznaczone na podstawie pomiaru wartości natężenia pola elektrycznego)

Nr pionu	Opis umiejscowienia pionu (punktu) pomiarowego	Wysokość pomiaru [m]	Wartość natężenia pola magnetycznego H [A/m] <sup>1</sup>			Wartość natężenia pola magnetycznego powiększona o niepewność pomiaru <sup>4</sup> H [A/m]	Wskaźnikowa wartość poziomu emisji pól elektromagnetycznych WM <sub>H</sub> <sup>3</sup>	Współrzędne geograficzne pionu (punktu) pomiarowego <sup>2</sup>
			Sonda SW-23	Sonda SW-24	Wartość			
1	DPP - w płaszczyźnie otworu okiennego myjni samochodowej, na parterze, Adama Mickiewicza 43, Żyrardów	2.0	0.003	0.003	0.003	0.004	0.06	52°2'29.0" 20°27'17.3"
2	DPP - w płaszczyźnie otworu okiennego Stacji paliw, na parterze, Adama Mickiewicza 43, Żyrardów	2.0	0.004	0.004	0.004	0.005	0.07	52°2'29.8" 20°27'16.6"
3	GKP w odległości poziomej 7m od anteny sektorowej az. 50°	0.3-2.0	<0.003*	<0.003*	<0.003*	0.003	0.05	52°2'29.4" 20°27'19.8"
4	GKP w odległości poziomej 22m od anteny sektorowej az. 50°	0.3-2.0	<0.003*	<0.003*	<0.003*	0.003	0.05	52°2'29.4" 20°27'20.5"
5	GKP w odległości poziomej 43m od anteny sektorowej az. 50°	2.0	0.004	0.004	0.004	0.005	0.07	52°2'30.1" 20°27'21.2"
6	GKP w odległości poziomej 63m od anteny sektorowej az. 50°	2.0	0.003	0.003	0.003	0.004	0.06	52°2'30.5" 20°27'22.0"
7	GKP w odległości poziomej 43m od anteny radioliniowej az. 7°	0.3-2.0	<0.003*	<0.003*	<0.003*	0.003	0.05	52°2'30.5" 20°27'19.8"
8	PKP na az. 338° w odległości poziomej 41m od anteny sektorowej az. 50°	0.3-2.0	<0.003*	<0.003*	<0.003*	0.003	0.05	52°2'30.5" 20°27'18.7"
9	GKP w odległości poziomej 40m od anteny radioliniowej az. 315°	0.3-2.0	<0.003*	<0.003*	<0.003*	0.003	0.05	52°2'30.1" 20°27'18.0"
10	GKP w odległości poziomej 7m od anteny sektorowej az. 155°	0.3-2.0	<0.003*	<0.003*	<0.003*	0.003	0.05	52°2'29.0" 20°27'19.4"
11	GKP w odległości poziomej 39m od anteny sektorowej az. 155°	2.0	0.004	0.004	0.004	0.005	0.07	52°2'28.0" 20°27'20.2"
12	PKP na az. 183° w odległości poziomej 47m od anteny sektorowej az. 155°	2.0	0.003	0.003	0.003	0.004	0.06	52°2'27.6" 20°27'19.4"
13	GKP w odległości poziomej 9m od anteny sektorowej az. 275°	0.3-2.0	<0.003*	<0.003*	<0.003*	0.003	0.05	52°2'29.0" 20°27'19.1"
14	GKP w odległości poziomej 31m od anteny sektorowej az. 275°	2.0	0.003	0.003	0.003	0.004	0.06	52°2'29.4" 20°27'17.6"
15	GKP w odległości poziomej 63m od anteny sektorowej az. 275°	2.0	<b>0.004</b>	<b>0.004</b>	0.004	0.005	0.08	52°2'29.4" 20°27'16.2"
-	GKP w odległości poziomej 323m od anteny sektorowej az. 155°	0.3-2.0	<0.003*	<0.003*	<0.003*	0.003	0.05	52°2'19.7" 20°27'26.6"
-	GKP w odległości poziomej 312m od anteny sektorowej az. 275°	0.3-2.0	<0.003*	<0.003*	<0.003*	0.003	0.05	52°2'30.1" 20°27'3.2"
-	GKP w odległości poziomej 281m od anteny sektorowej az. 50°	0.3-2.0	<0.003*	<0.003*	<0.003*	0.003	0.05	52°2'34.8" 20°27'31.0"

GKP – Główny Kierunek Pomiarowy

DPP – Dodatkowy Pion Pomiarowy

PKP – Pomocniczy Kierunek Pomiarowy

<sup>1</sup> wyniki oznaczone \* są wynikami poniżej czułości zestawu pomiarowego i są wynikami spoza zakresu akredytacji. Do obliczenia wyniku skorygowanego przyjęto wartość skorelowaną z rzeczywistym wynikiem pomiaru - dolną granicę akredytowanego zakresu pomiarowego metody

<sup>2</sup> współrzędne geograficzne pozyskane metodą pomiaru bezpośredniego

<sup>3</sup> do wyznaczenia wartości wskaźnikowej WM<sub>E</sub> i WM<sub>H</sub> przyjęto na podstawie uzgodnień z klientem oraz rozpoznania źródeł, jako wartości dopuszczalne pola elektrycznego i magnetycznego odpowiednio 28 V/m i 0,073 A/m.

<sup>4</sup> do wyznaczenia niepewności dla wyników poniżej czułości zestawu pomiarowego, przyjęto niepewność dla minimalnej wartości z zakresu pomiarowego.

<sup>5</sup> maksymalna wartość chwilowa

Niepewność oszacowano zgodnie z dokumentem P-03 „Procedura nadzoru nad wyposażeniem” w postaci niepewności rozszerzonej wynikającej z niepewności standardowej pomnożonej przez współczynnik rozszerzenia k=2.

Całkowita szacowana niepewność rozszerzona składowej E wynosi odpowiednio:

sonda SW-23: 29.6% dla częstotliwości do 4 GHz, sonda SW-24: 28.5% dla częstotliwości do 4 GHz

Pomiar wykonany metodą 2 sond, opisaną w artykule Medycyna Pracy 2015;66(5):701-712 „Optymalizacja metodyki pomiaru wieloczęstotliwościowego pola elektromagnetycznego stacji bazowych telefonii komórkowej”.

Umiejscowienie pionów (punktów) pomiarowych przedstawiono w załączniku nr 2 do niniejszego sprawozdania.

Sprawozdanie z badań bez pisemnej zgody laboratorium nie może być powielane inaczej niż w całości.

Wyniki przedstawione w niniejszym sprawozdaniu odnoszą się wyłącznie do badanego obiektu i do warunków i konfiguracji urządzeń w dniu wykonywania pomiarów.

## 10. Omówienie wyników pomiarów

W związku z tym, że żadna z wartości zmierzonych, udokumentowanych w tabelach w pkt. 9, uzyskanych w skutek zastosowania pomiaru szerokopasmowego, powiększonego o rozszerzoną niepewność pomiaru  $U$  dla współczynnika rozszerzenia  $k = 2$  nie przekroczyła 70% najniższej dopuszczalnej wartości składowej elektrycznej lub magnetycznej pola dla objętych pomiarami zakresów częstotliwości, nie uwzględnia się poprawek pomiarowych.

W wyniku zastosowania sposobu sprawdzenia dotrzymania dopuszczalnych poziomów pól elektromagnetycznych w środowisku, zgodnie pkt 25 ppkt 1 Rozporządzenia Ministra Klimatu z dnia 17 lutego 2020 r. (Dz. U. 2022, poz. 2630), w związku z tym, że żadna z wartości wskaźnikowych, udokumentowanych w tabelach w pkt. 9 nie przekracza wartości 1, stwierdza się, że w miejscach, w których wykonano pomiary w otoczeniu instalacji radiokomunikacyjnej 91483 (91483N!) ŻYRARDÓW PLAY (WSK\_ZYRARDOW\_MICKIEWICZAP4), dopuszczalne poziomy pól elektromagnetycznych w środowisku należy uznać za dotrzymane.

## 11. Podstawa prawna

- 1) Ustawa z dnia 27 kwietnia 2001 r. Prawo ochrony środowiska (T. j. Dz. U. z 2025 r., poz. 647 z późn. zm.)
- 2) Rozporządzenie Ministra Zdrowia z dnia 17 grudnia 2019 r. w sprawie dopuszczalnych poziomów pól elektromagnetycznych w środowisku (Dz. U. 2019, poz. 2448)
- 3) Rozporządzenie Ministra Klimatu z dnia 17 lutego 2020 r. w sprawie sposobów sprawdzania dotrzymania dopuszczalnych poziomów pól elektromagnetycznych w środowisku (Dz. U. 2022, poz. 2630),
- 4) Akredytacja nr AB 419 wydana przez Polskie Centrum Akredytacji (wydanie 24, z dnia 14 stycznia 2026r.)

## 12. Spis załączników

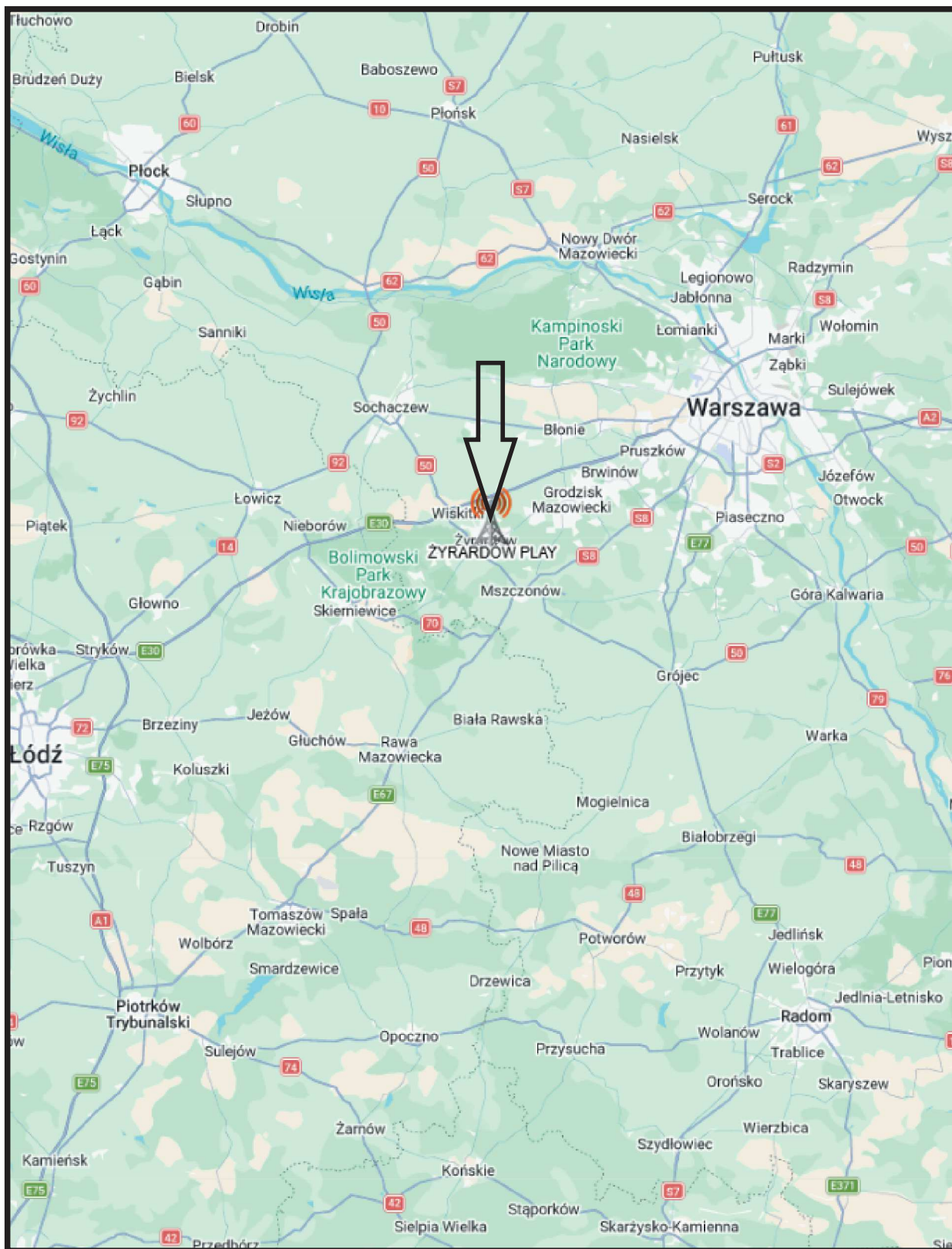
- Załącznik 1. Lokalizacja obiektu badań
- Załącznik 2. Usytuowanie pionów (punktów) pomiarowych
- Załącznik 3. Dokumentacja fotograficzna obiektu badań

## 13. Data wydania i autoryzowania sprawozdania

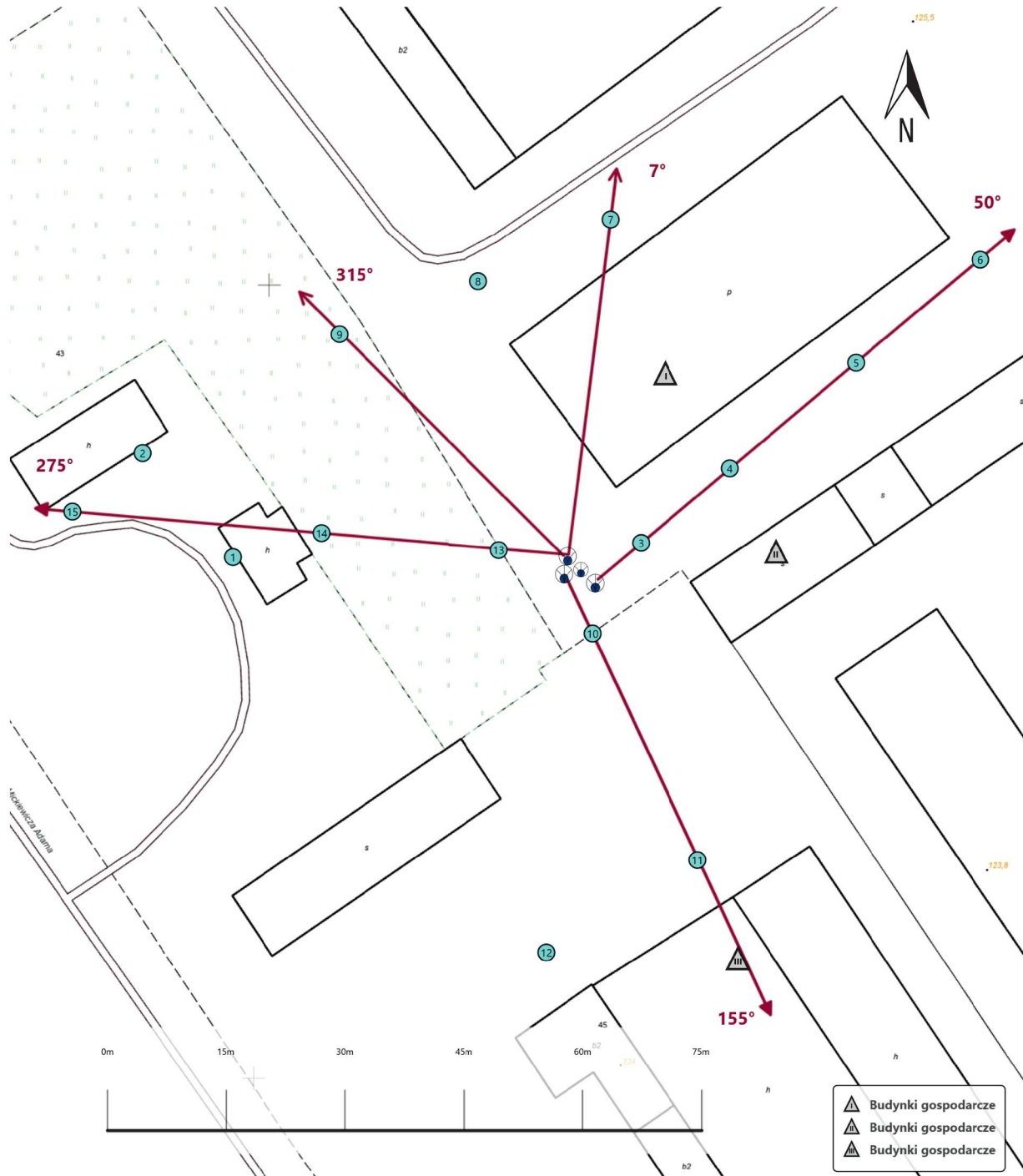
Obliczenia i sprawozdanie wykonał :






Sprawozdanie autoryzował:

**Koniec sprawozdania**



<b>Załącznik nr 1</b>	<b>INSTALACJA RADIOKOMUNIKACYJNA Orange Polska S.A. 91483 (91483N1) ŻYRARDÓW PLAY (WSK_ZYRARDOW_MICKIEWICZAP4)</b> Lokalizacja instalacji radiokomunikacyjnej
-----------------------	--



<p>Załącznik nr 2</p>	<p style="text-align: center;"><b>Instalacja radiokomunikacyjna Orange Polska S.A.</b>  <b>WSK_ZYRARDOW_MICKIEWICZAP4 (91483N!)</b>                  Usytuowanie pionów pomiarowych w otoczeniu instalacji radiokomunikacyjnej</p>
<p>Legenda:</p>	<p>  Źródło pola elektromagnetycznego   Brak dostępu   Pion pomiarowy   Kierunek oddziaływania anten sektorowych   Kierunek oddziaływania anten radioliniowych                 </p>



**Załącznik nr 3**

**INSTALACJA RADIOKOMUNIKACYJNA Orange Polska S.A. 91483 (91483N!) ŻYRARDÓW PLAY (WSK\_ZYRARDOW\_MICKIEWICZAP4)**  
Zdjęcia instalacji radiokomunikacyjnej